

Uma Introdução à Teoria dos Táquions

(An Introduction to the Theory of Tachyons)

Ricardo S. Vieira*

Departamento de Física, Universidade Federal de São Carlos, São Carlos, SP, Brasil

Resumo

A teoria da relatividade, proposta no início do século XX, aplica-se à partículas e referenciais cuja velocidade é menor que a velocidade da luz. Nesse artigo mostraremos como esta teoria pode ser estendida à partículas e referenciais que se movimentam mais rapidamente que a luz.

The theory of relativity, which was proposed in the beginning of the 20th century, applies to particles and frames of reference whose velocity is smaller than the velocity of light. In this paper we will show how this theory can be extended to particles and frames of reference which move faster than light.

1 Sobre a necessidade de se formular uma teoria dos táquions

Cientistas do Centro Europeu de Pesquisas Nucleares (CERN) divulgaram recentemente os resultados de um experimento [1] onde provavelmente foram detectados neutrinos *mais rápidos que a luz*. Por coincidência, cerca de uma semana antes da divulgação desse resultado, tive a felicidade de apresentar na 7^a Semana da Física da UFSCar [2] uma palestra justamente sobre o tema dos táquions (nome dado em física teórica às partículas mais rápidas que a luz). Essa palestra gerou grande interesse por parte de professores e alunos, o qual foi ainda mais aumentado após a divulgação da notícia comentada acima. Desde então tenho sido incentivado a escrever um artigo sobre as ideias apresentadas naquela ocasião, o que me propus a fazer nessas últimas semanas e cujo resultado constitui o presente texto.

Estando ou não corretos os resultados apresentados em [1], mencionamos que existem outras evidências experimentais sobre a existência de fenômenos superluminais na natureza [3] e, independentemente disso, que a teoria dos táquions permite uma melhor compreensão da própria teoria da relatividade, bem como de alguns temas de mecânica quântica. Acreditamos que esses sejam motivos suficientes para se formular uma *teoria da relatividade estendida* que se aplique também a fenômenos, partículas e referenciais mais rápidos que a luz. Tentativas de se estender a teoria da relatividade já foram, é claro, propostas por diversos cientistas, muito embora as fontes originais não sejam de fácil acesso (com efeito, só tive conhecimento desses trabalhos recentemente). Dentre as formulações propostas, destacamos a formulação apresentada por Recami [4] e colaboradores, cujos resultados coincidem em sua grande maioria com os que serão apresentados aqui. A referência [4] consiste em um artigo de revisão sobre o assunto, onde o leitor interessado encontrará uma vasta quantidade de referências e poderá obter também mais detalhes sobre a teoria, além de tópicos que não serão discutidos aqui (*e.g.*, a eletrodinâmica de táquions).

Por uma teoria da relatividade estendida, queremos nos referir a uma teoria que se aplique à partículas e referenciais que se movimentam com velocidades maiores que a da luz, bem como à partículas e referenciais que se “movimentam” para trás no tempo. Em especial é necessário estender as transformações de Lorentz para tais referenciais. Embora essa extensão possa ser deduzida, sem maiores problemas, em um universo de duas dimensões, (x, t) , nos deparamos com dificuldades ao tentarmos estendê-las em um universo de quatro dimensões, (x, y, z, t) . As razões pelas quais isso ocorre serão comentadas na seção 10. Por fim, na seção 11 mostraremos que em um universo de seis dimensões (com três dimensões espaciais e três temporais),

*E-mail: rsvieira@df.ufscar.br.

àquelas dificuldades desaparecem e torna-se possível entender as transformações de Lorentz de acordo com os princípios da relatividade usual.

Um dos motivos que tornam a teoria dos táquions quase que desconhecida é a convicção (equivocada) de que a teoria da relatividade proíbe a existência de partículas mais velozes que a luz, e que essa velocidade representa um limite máximo para a propagação de qualquer fenômeno. Um dos argumentos geralmente empregados para provar essa afirmação é que, conforme estabelece a teoria da relatividade, nenhuma partícula pode ser acelerada até atingir, ou ultrapassar, a velocidade da luz, já que para isso seria necessário se gastar uma quantidade infinita de energia. Isso não está errado, porém, também não está *completamente correto*. Com efeito, esse argumento não leva em conta a possibilidade de que essas partículas possam ter sido criadas no exato momento da criação do universo – assim, ninguém teve de acelerá-las, elas simplesmente já nasceram com uma velocidade maior que a da luz.

Além disso, não podemos descartar a possibilidade de que tais partículas possam ser criadas através de algum processo quântico, análogo por exemplo ao processo de criação de pares de partículas-antipartículas.

Por fim, se associarmos uma completa isotropia e homogeneidade ao espaço-tempo, então segue que nenhuma de suas direções deve ser privilegiada em relação às outras e, portanto, a existência de partículas mais rápidas que a luz deveria ser naturalmente esperada, ao invés de ser encarada com surpresa. Não é a possibilidade de existência dos táquions que requer explicação, pelo contrário, uma explicação deveria ser dada caso essas partículas não existissem.

2 Sobre a estrutura do espaço-tempo

Como se sabe, a formulação da teoria da relatividade deveu-se ao esforço de vários cientistas (*e.g.*, Lorentz, Poincaré, Einstein, Minkowski etc.). A descrição geométrica da teoria da relatividade – a chamada teoria do espaço-tempo –, por sua vez, foi proposta primeiramente por Poincaré [5] em 1905 e, depois, de maneira mais acessível e detalhada por Minkowski [6] em 1909.

Essa descrição geométrica, que contém a própria essência da teoria da relatividade, pode ser fundamentada nas seguintes afirmações, ou postulados¹.

¹A influência da gravidade será explicitamente desprezada

1. O universo é um continuum em 4 dimensões – três dessas dimensões estão associadas às dimensões espaciais usuais X , Y e Z , enquanto que a outra está associada a uma dimensão temporal, T .
2. O espaço-tempo é homogêneo e isotrópico.
3. A geometria do universo é hiperbólico-circular. Nos planos puramente espaciais, XY , YZ e ZX a geometria é circular (*i.e.*, euclidiana), enquanto que nos planos que envolvem a dimensão temporal, TX , TY e TZ , a geometria é hiperbólica (*i.e.*, pseudo-euclidiana).

Em termos da descrição de Poincaré-Minkowski, qualquer referencial inercial pode ser representado por um sistema de coordenadas adequado, que chamaremos de sistema de coordenadas inercial. O movimento de uma partícula fica representada por uma curva contínua – uma reta, caso a velocidade da partícula seja constante –, a que chamamos de *linha de universo* da partícula. Em especial, a velocidade de uma partícula determina-se pela tangente do ângulo (hiperbólico) que sua linha de universo faz com o eixo do tempo do sistema de coordenadas no qual a velocidade é referida. Analogamente, a velocidade relativa entre dois referenciais, v , é determinada pela tangente do ângulo (hiperbólico) entre os eixos de tempo dos sistemas de coordenadas correspondentes e uma mudança de referencial consiste, nessa descrição geométrica, a uma mera rotação hiperbólica² dos eixos coordenados.

Através dos postulados apresentados acima, toda a teoria da relatividade pode ser formulada. Em especial, destacamos que a partir desses postulados podemos mostrar o princípio de invariância da velocidade da luz (pelo menos em duas dimensões). De fato, o simples fato de que a geometria do espaço-tempo é hiperbólica implica a existência de uma classe de partículas cuja velocidade é sempre a mesma para qualquer referencial inercial. Podemos nos convencer disso ao notar que em uma geometria hiperbólica existem certas retas (as assíntotas) que não se alteram quando uma rotação hiperbólica é implementada. Se, portanto, a linha de universo de uma partícula for paralela a uma dessas assíntotas, a sua direção será sempre a mesma para qualquer sistema de coordenadas inercial e, conseqüentemente, a sua velocidade também será sempre a mesma

nesse texto.

²No caso em que $|v| > c$ devemos considerar uma rotação hiperbólica *estendida*, conforme será discutido na seção 4.

para qualquer referencial inercial. O fato experimental de que a velocidade luz é a mesma em qualquer referencial inercial fornece, assim, um forte argumento a favor do caráter hiperbólico do espaço-tempo.

Para uso futuro, faremos algumas definições e convenções que serão utilizadas durante o texto. Uma vez que estamos dispostos a levar em consideração partículas que se “movimentam” em qualquer direção do espaço-tempo, convém empregarmos uma métrica que seja sempre real e não-negativa. Optamos, assim, por definir a *métrica* pela expressão,

$$ds = \sqrt{|c^2 dt^2 - dx^2 - dy^2 - dz^2|}. \quad (1)$$

A escolha da métrica, é claro, não interfere nos resultados finais da teoria, uma vez que se tem certa liberdade em defini-la.

Em termos da métrica (1), vamos classificar os eventos como do tipo tempo, luz ou espaço conforme a quantidade $c^2 dt^2 - dx^2 - dy^2 - dz^2$ seja positiva, nula ou negativa, respectivamente. Uma classificação semelhante pode ser atribuída a partículas e referenciais. Assim, por exemplo, partículas mais lentas que a luz (brádions) serão classificadas como partículas do *tipo tempo* e partículas mais rápidas que a luz (táquions) como partículas do *tipo espaço*. Partículas que se movem com a velocidade da luz (luxons) serão classificadas, é claro, como partículas do *tipo luz*.

Também classificaremos as partículas de acordo com a sua “direção de movimento” no tempo. Partículas que se movimentam para o futuro serão chamadas de *progressivas* e as que se movimentam para o passado, de *retrógradas*. Partículas que se movimentam com velocidade infinita só existem no instante presente e por isso serão chamadas de *momentâneas*. Uma classificação idêntica pode ser empregada à referenciais.

3 Antipartículas e o Princípio da Inversão

Na seção anterior introduzimos o conceito de partículas retrógradas como partículas que voltam no tempo. Nessa seção vamos esclarecer como elas podem ser interpretadas do ponto de vista físico. Para que a discussão se torne mais simples, entretanto, vamos considerar apenas partículas do tipo tempo, isto é, partículas cuja velocidade é menor que a da luz.

Deixe-nos começar o nosso estudo analisando qual deve ser a energia de uma partícula retrógrada. Sabe-

mos da teoria da relatividade usual que a energia de uma partícula (do tipo tempo) relaciona-se com sua massa e seu momentum através da expressão $E^2 = p^2 c^2 + m^2 c^4$. Essa expressão quadrática tem duas soluções para a energia: uma raiz positiva e outra negativa (geometricamente, esta equação descreve, para m fixo, um hiperboloide de duas faces). Na teoria relatividade geralmente interpretamos os estados de energia positiva como estados acessíveis a qualquer partícula progressiva, ou, em outras palavras, que uma partícula progressiva possui sempre uma energia positiva. Em virtude dessa associação, decorre que, por consistência, devemos interpretar os estados de energia negativa como acessíveis somente às partículas retrógradas, ou, em outros termos, que qualquer partícula retrógrada deve possuir uma energia negativa.

Esses dois conceitos que separadamente não possuem sentido físico – a saber, partículas que voltam no tempo e partículas livres de energia negativa –, podem ser conciliados através do que se chama de *princípio da inversão*³. Esse princípio baseia-se no fato de que qualquer observador considera o tempo como que fluindo do passado para o futuro e que qualquer medição da energia de uma partícula livre resulta em uma quantidade positiva. Desse modo, o princípio da inversão estabelece que uma partícula retrógrada (cuja energia é negativa) deve sempre ser fisicamente observada como uma partícula progressiva usual (cuja energia é positiva).

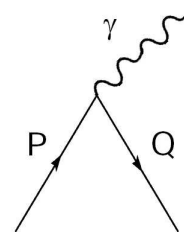


Figura 1: A partícula progressiva P interage com o fóton γ e se transforma na partícula retrógrada Q .

O leitor poderia pensar assim que não há diferenças entre partículas progressivas e retrógradas, já que aparentemente as últimas são sempre vistas como às primeiras. No entanto, isso não é bem assim, pois

³ *Switching principle*, em inglês. Às vezes o termo “*princípio da reinterpretção*” é também empregado.

ao observarmos uma partícula retrógrada como progressiva, algumas de suas propriedades acabam por se inverterem no processo. Por exemplo, se a partícula retrógrada tem uma carga elétrica $+e$, então devido ao princípio de conservação de carga elétrica, devemos observar a “partícula invertida” como que portando a carga $-e$. Isso pode ser mais bem visualizado através da seguinte experiência.

Considere o fenômeno descrito na figura 1, onde uma partícula progressiva P , de carga elétrica $+e$, interage com um fóton γ e que, em virtude dessa interação, se torne uma partícula retrógrada, Q . Note que a partícula Q é, em verdade, a própria partícula P mas que agora se “movimenta” para trás no tempo. Portanto, a carga elétrica da partícula Q é também $+e$.

Entretanto, quando esse processo for fisicamente observado, o observador fará uso do princípio da inversão (mesmo que de maneira inconsciente) e o fenômeno passa a ser interpretado da seguinte forma: duas partículas de igual massa se aproximam e, em dado momento, colidem e se aniquilam, dando origem a um fóton. Desde que o fóton não tem carga elétrica e sabemos que a carga elétrica observada da partícula progressiva é $+e$, decorre que a carga elétrica observada da partícula retrógrada tem de ser $-e$. A conclusão que se tira disso é que o sinal da carga elétrica de uma partícula retrógrada se inverte no processo de observação.

Assim, uma partícula retrógrada de massa m e carga e é sempre vista como uma partícula progressiva de mesma massa e carga elétrica oposta. Ora, essas são justamente as propriedades esperadas de uma *antipartícula*. Portanto o princípio da inversão nos permite concluir que qualquer partícula retrógrada é observada fisicamente como uma antipartícula. O conceito de antipartículas pode ser visto, assim, como um conceito puramente relativístico; não é necessário se falar de mecânica quântica para se introduzir esse conceito⁴.

Por fim, deixe-nos comentar que esses argumentos também são válidos no caso de partículas do tipo espaço, ou seja, no caso dos táquions. No entanto, veremos na seção 8 que no caso dos táquions a energia se relaciona com o momentum e a massa através da relação $E^2 = p^2 c^2 - m^2 c^4$, equação esta que descreve um hiperboloide de folha única. Assim podemos verificar

⁴A conexão entre partículas que voltam no tempo com antipartículas já foi, é claro, proposta por diversos cientistas (*e.g.*, Dirac [7], Stückelberg [8, 9], Feynman [10, 11], Sudarshan [12], Recami [4] etc.).

que os táquions possuem uma propriedade bem interessante: eles podem passar de uma partícula progressiva a uma retrógrada (e vice-versa) através de um simples movimento contínuo. Em outras palavras, ao acelerarmos um táquion podemos fazê-lo se transformar em um antitáquion e vice-versa (no momento dessa inversão, aliás, o táquion tornar-se-ia uma partícula momentânea, ou seja, uma partícula de velocidade infinita). Isso, é claro, só é possível para partículas do tipo espaço.

4 Dedução das transformações de Lorentz estendidas (em 2 dimensões)

Deixe-nos agora mostrar como as transformações de Lorentz podem ser generalizadas, ou estendidas, à referenciais que se movimentam com uma velocidade maior que a da luz, bem como para referenciais retrógrados. Nessa seção nos limitaremos, contudo, a formular uma teoria em duas dimensões. Como já foi comentado, em quatro dimensões nos deparamos com diversas dificuldades para se fazer essa extensão, as quais serão explicadas na seção 10. Apresentaremos a seguir duas deduções para as *Transformações de Lorentz Estendidas* (TLE), uma dedução algébrica e outra geométrica.

Dedução Algébrica: desde que, em duas dimensões, os postulados apresentados na seção anterior são suficientes para mostrar que a luz se propaga com mesma velocidade c em qualquer referencial inercial, podemos tomar esse resultado como o nosso ponto de partida.

Considere assim que um determinado evento tenha as coordenadas (ct, x) em relação a um referencial R e que para um outro referencial inercial R' , que se movimenta em relação a R com velocidade v , as coordenadas desse mesmo evento sejam (ct', x') . Suponha além disso que os eixos coordenados desses referenciais sejam igualmente orientados e que em $t' = t = 0$, a origem dos referenciais coincidam⁵.

Nessas condições, se um raio de luz for emitido da origem do referencial R e no instante $t = 0$, então esse raio de luz se propagará, em relação a R , conforme a

⁵Daqui em diante, sempre que falarmos nos referenciais R e R' assumiremos implicitamente que a velocidade relativa entre eles é v e que as condições estabelecidas acima são sempre satisfeitas.

equação

$$x^2 - c^2t^2 = 0, \quad (2)$$

e, para R' , devido ao princípio de invariância da velocidade da luz, conforme

$$x'^2 - c^2t'^2 = 0. \quad (3)$$

(2) e (3) implica, portanto, que

$$x'^2 - c^2t'^2 = \lambda(v) (x^2 - c^2t^2), \quad (4)$$

onde $\lambda(v)$ não depende das coordenadas e do tempo, mas pode depender de v .

Por outro lado, desde que a velocidade do referencial R quando medida por R' é claramente $-v$, segue também que

$$x^2 - c^2t^2 = \lambda(-v) (x'^2 - c^2t'^2). \quad (5)$$

Conclui-se, assim, a partir de (4) e (5), que $\lambda(v)\lambda(-v) = 1$. Entretanto, a hipótese de que o espaço-tempo é isotrópico e homogêneo impede que $\lambda(v)$ possa depender da direção da velocidade⁶ e somos levados à condição

$$\lambda(v)^2 = 1 \quad \Rightarrow \quad \lambda(v) = \pm 1. \quad (6)$$

Temos assim dois casos à considerar. Deixe-nos primeiro considerar o caso em que $\lambda(v) = +1$. Nesse caso a equação (4) se torna

$$x'^2 - c^2t'^2 = x^2 - c^2t^2, \quad (7)$$

e, como sabemos, a solução de (7) nos leva diretamente às transformações de Lorentz usuais,

$$ct' = \frac{ct - xv/c}{\sqrt{1 - v^2/c^2}}, \quad x' = \frac{x - vt}{\sqrt{1 - v^2/c^2}}. \quad (8)$$

Note que essas transformações contêm a identidade (para $v = 0$) e são descontínuas apenas em $v = \pm c$. Consequentemente, essas transformações devem se aplicar a todo o intervalo $-c < v < c$, e somente a esse intervalo.

Esperamos assim que no outro caso, isto é, quando $\lambda(v) = -1$, as transformações encontradas estejam relacionadas à velocidades maiores que a da luz. Mostraremos agora que de fato é isso o que ocorre.

⁶De fato, é apenas nesse caso que as transformações procuradas formam um grupo, conferir [5].

Para $\lambda(v) = -1$, a equação (4) se torna

$$x'^2 - c^2t'^2 = -(x^2 - c^2t^2), \quad (9)$$

Através das substituições formais $x \rightarrow \pm i\xi$ e $ct \rightarrow \pm ic\tau$, podemos reescrever (9) como

$$x'^2 - c^2t'^2 = \xi^2 - c^2\tau^2. \quad (10)$$

A equação (10) tem a mesma forma que a equação (7) e, portanto, admite mesma solução:

$$ct' = \frac{c\tau - \xi v/c}{\sqrt{1 - v^2/c^2}}, \quad x' = \frac{\xi - v\tau}{\sqrt{1 - v^2/c^2}}. \quad (11)$$

Expressando novamente essas equações em termos de x e t , obtemos

$$ct' = \pm \frac{ct - xv/c}{\sqrt{v^2/c^2 - 1}}, \quad x' = \pm \frac{x - vt}{\sqrt{v^2/c^2 - 1}}, \quad (12)$$

e agora só nos resta remover a ambiguidade dos sinais presente nessas transformações. O sinal correto, contudo, depende das “direções de movimento” dos referenciais R e R' no espaço-tempo, conforme pode ser visualizado na figura (2). No caso de uma transformação progressiva do tipo espaço, facilmente se pode mostrar que o sinal correto é o negativo.

Note que essas equações, assim como no caso anterior, são descontínuas apenas em $v = \pm c$, mas agora elas são reais somente quando $|v| > c$. Essas equações representam, por conseguinte, as transformações de Lorentz entre dois referenciais progressivos cuja velocidade relativa é maior que a da luz.

No caso mais geral, onde permitimos que os referenciais sejam progressivos ou retrógrados, e que tenham qualquer valor de velocidade, as TLE podem ser escritas como

$$ct' = \pm \frac{ct - xv/c}{\sqrt{|v^2/c^2 - 1|}}, \quad x' = \pm \frac{x - vt}{\sqrt{|v^2/c^2 - 1|}}, \quad (13)$$

com os sinais determinados como na figura (2).

Dedução Geométrica: do ponto de vista geométrico, as TLE correspondem a uma rotação (hiperbólica) definida sobre a curva⁷

$$|c^2t^2 - x^2| = \rho^2. \quad (14)$$

⁷Tal rotação pode ser mais elegantemente descrita através do conceito de *números hiperbólicos* [13]. Um número hiperbólico é um número da forma $z = a + hb$, com $\{a, b\} \in \mathbb{R}$ e $h : \{h^2 = +1, h \notin \mathbb{R}\}$. Definindo-se o conjugado $\bar{z} = a - hb$, segue que $|\bar{z}z| = |a^2 - b^2| = \rho^2$, uma equação da mesma forma

Podemos chamar tal transformação de *rotação hiperbólica estendida*. Note que (14) representa um par de hipérbolas equiláteras e ortogonais. As duas assíntotas

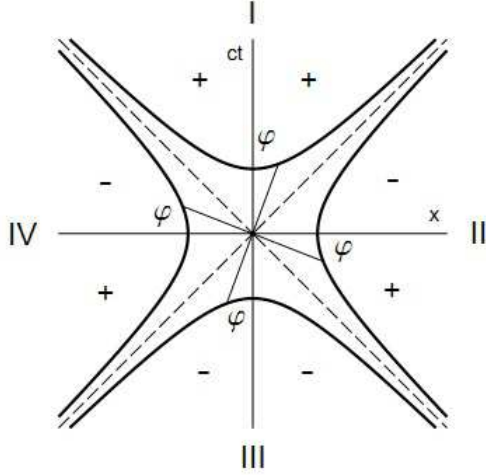


Figura 2: Gráfico da Curva $|c^2 t^2 - x^2| = \rho^2$.

dessa curva dividem o plano em quatro regiões desconexas, a que chamaremos de regiões I, II, III e IV, respectivamente (ver figura 2).

Para expressar tal rotação, convém introduzir as *funções hiperbólicas estendidas*, $\cosh \theta$ e $\sinh \theta$, definindo-as através das relações

$$ct = \rho \cosh \theta, \quad x = \rho \sinh \theta, \quad (15)$$

onde $0 \leq \theta < 2\pi$ é o *parâmetro circular* usual e ρ é dado por (14). Note que nessa descrição geométrica a velocidade passa a ser dada pela expressão

$$v/c = \tanh \theta. \quad (16)$$

As expressões de $\cosh \theta$ e $\sinh \theta$, por sua vez, podem ser determinadas através das funções hiperbólicas usuais, $\cosh \varphi$ e $\sinh \varphi$, onde φ é o parâmetro hiperbólico, $-\infty < \varphi < \infty$. De fato, se introduzirmos em cada região do plano um parâmetro hiperbólico φ correspondente, o qual deve ser medido, por conveniência,

que (14). Obtém-se assim uma completa analogia com os números complexos, mas com a diferença de que agora esses números descrevem uma geometria hiperbólica. Destacamos também que o mesmo pode ser feito através da chamada *álgebra geométrica do espaço-tempo* [14], com a vantagem de que esse formalismo talvez permita uma generalização à dimensões maiores.

como mostrado na figura 2, então as funções $\cosh \varphi$ e $\sinh \varphi$ nos permitem parametrizar cada um dos ramos da curva (14). Assim, uma vez especificada a região na qual θ pertence, ρ e φ determinam de forma única qualquer ponto da curva (14) e, portanto, determinam também as funções hiperbólicas estendidas. Com essas convenções, encontramos que

$$\cosh \theta \equiv \begin{cases} + \cosh \varphi, & \theta \in \text{I} \\ - \sinh \varphi, & \theta \in \text{II} \\ - \cosh \varphi, & \theta \in \text{III} \\ + \sinh \varphi, & \theta \in \text{IV} \end{cases}, \quad (17)$$

$$\sinh \theta \equiv \begin{cases} + \sinh \varphi, & \theta \in \text{I} \\ + \cosh \varphi, & \theta \in \text{II} \\ - \sinh \varphi, & \theta \in \text{III} \\ - \cosh \varphi, & \theta \in \text{IV} \end{cases},$$

onde os parâmetros θ e φ relacionam-se através da fórmula

$$\tan \theta = \tanh \theta \equiv \begin{cases} + \tanh \varphi, & \theta \in (\text{I}, \text{III}) \\ - \coth \varphi, & \theta \in (\text{II}, \text{IV}) \end{cases}. \quad (18)$$

As expressões das funções hiperbólicas estendidas também podem ser encontradas sem se fazer uso das funções hiperbólicas usuais. Para isso parametrizamos (14) através das funções circulares, colocando $ct = r \cos \theta$ e $x = r \sin \theta$, onde $r = \sqrt{c^2 t^2 + x^2}$. Isso nos permite escrever diretamente,

$$\cosh \theta = \frac{\cos \theta}{\sqrt{|\cos 2\theta|}}, \quad \sinh \theta = \frac{\sin \theta}{\sqrt{|\cos 2\theta|}}. \quad (19)$$

ou, em termos da tangente,

$$\cosh \theta = \frac{\sigma(\theta)}{\sqrt{|1 - \tan^2 \theta|}}, \quad \sinh \theta = \frac{\sigma(\theta) \tan \theta}{\sqrt{|1 - \tan^2 \theta|}}, \quad (20)$$

com

$$\sigma(\theta) = \begin{cases} +1, & -\pi/2 < \theta < \pi/2 \\ -1, & \pi/2 < \theta < 3\pi/2 \end{cases}. \quad (21)$$

A equivalência entre (17) e (19) ou (20) é encontrada quando se leva em conta (18).

Uma vez definidas as funções hiperbólicas estendidas é fácil obter as expressões que descrevem uma rotação hiperbólica estendida. Sejam $(ct, x) = (\rho \cosh \theta_1, \rho \sinh \theta_1)$, as coordenadas de um ponto do

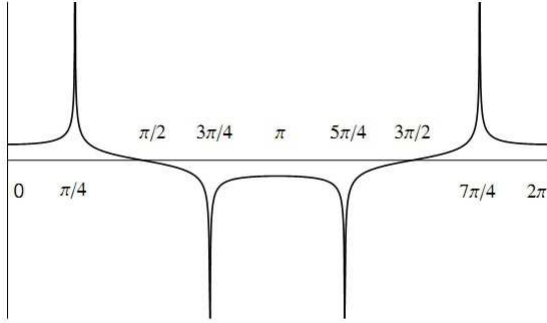


Figura 3: Gráfico da função hiperbólica estendida, $\cosh \theta$. O gráfico da função $\sinh \theta$ é semelhante a este, mas com uma defasagem de $\pi/2$ rad.

plano para um sistema de coordenadas R , o qual supomos pertencer ao setor I do espaço-tempo. Se efetuarmos uma rotação hiperbólica passiva (*i.e.*, dos eixos coordenados), digamos por um ângulo θ_{12} , vamos obter um novo sistema de coordenadas R' e as coordenadas daquele mesmo ponto passarão a ser dadas agora por $(ct', x') = (\rho \cosh \theta_2, \rho \sinh \theta_2)$. Como $\theta_{12} = \theta_1 - \theta_2$, segue que

$$ct' = \rho \cosh(\theta_1 - \theta_{12}), \quad x' = \rho \sinh(\theta_1 - \theta_{12}). \quad (22)$$

Substituindo as expressões de $\cosh(\theta_1 - \theta_{12})$ e $\sinh(\theta_1 - \theta_{12})$ por qualquer uma das expressões acima e simplificando as expressões resultantes, levando-se ainda em conta (18), pode-se verificar que (ct', x') relaciona-se com (ct, x) através das equações

$$\begin{aligned} ct' &= \delta(\theta_{12})(ct \cosh \theta_{12} - x \sinh \theta_{12}), \\ x' &= \delta(\theta_{12})(x \cosh \theta_{12} - ct \sinh \theta_{12}), \end{aligned} \quad (23)$$

onde

$$\delta(\theta) = \begin{cases} +1, & \tan^2 \theta < 1 \\ -1, & \tan^2 \theta > 1 \end{cases}. \quad (24)$$

Por fim, utilizando (20) e colocando $\tan \theta_{12} = v/c$, obtemos diretamente as transformações procuradas, que são idênticas às obtidas algebricamente:

$$ct' = \varepsilon(\theta_{12}) \frac{ct - xv/c}{\sqrt{|1 - v^2/c^2|}}, \quad x' = \varepsilon(\theta_{12}) \frac{x - vt}{\sqrt{|1 - v^2/c^2|}}, \quad (25)$$

onde fizemos $\varepsilon(\theta_{12}) = \sigma(\theta_{12}) \delta(\theta_{12})$. $\varepsilon(\theta_{12})$ determina o sinal que deve figurar na frente dessas transformações, conforme pode ser visto na figura 2.

5 A lei de composição de velocidades e as transformações inversas

As transformações deduzidas na seção anterior formam um grupo, no qual as transformações de Lorentz ordinárias constituem apenas um subgrupo. Deixe-nos demonstrar essa estrutura.

Em primeiro lugar, notemos que a identidade é obtida quando se faz $v = 0$. Mostraremos agora que a composição de duas TLE resulta ainda em outra TLE. Para isso introduzimos um terceiro referencial inercial R'' , que se movimenta em relação a R' com velocidade $u = c \tanh \theta_{23}$. Por outro lado, supomos que o referencial R' movimenta-se com a velocidade $v = c \tanh \theta_{12}$ em relação a R . A lei de transformação entre R e R' já conhecemos, e pode ser escrita como

$$\begin{aligned} ct' &= \varepsilon(\theta_{12}) \frac{ct - x \tanh \theta_{12}}{\sqrt{|1 - \tanh^2 \theta_{12}|}}, \\ x' &= \varepsilon(\theta_{12}) \frac{x - ct \tanh \theta_{12}}{\sqrt{|1 - \tanh^2 \theta_{12}|}} \end{aligned} \quad (26)$$

Por sua vez, a lei de transformação de R' para R'' pode ser escrita por uma expressão análoga:

$$\begin{aligned} ct'' &= \varepsilon'(\theta_{23}) \frac{ct' - x' \tanh \theta_{23}}{\sqrt{|1 - \tanh^2 \theta_{23}|}}, \\ x'' &= \varepsilon'(\theta_{23}) \frac{x' - ct' \tanh \theta_{23}}{\sqrt{|1 - \tanh^2 \theta_{23}|}} \end{aligned} \quad (27)$$

Nessas equações, $\varepsilon'(\theta_{23})$ determina os sinais correspondentes às transformações de R' para R'' , os quais não precisam necessariamente ser iguais aos sinais presentes nas transformações de R para R' . De fato, enquanto na definição de $\varepsilon(\theta_{12})$ o referencial de partida, R , era suposto pertencer à região I do espaço-tempo, o referencial R' pode pertencer a qualquer região. Assim, $\varepsilon'(\theta_{23})$ é uma função ainda a se determinar.

A substituição de (26) em (27) nos fornece a lei de transformação entre R e R'' . Após algumas simplificações, pode-se verificar que as expressões obtidas possuem a mesma forma de uma TLE, a saber,

$$\begin{aligned} ct'' &= \varepsilon''(\theta_{13}) \frac{ct - x \tanh(\theta_{13})}{\sqrt{|1 - \tanh^2(\theta_{13})|}} \\ x'' &= \varepsilon''(\theta_{13}) \frac{x - ct \tanh(\theta_{13})}{\sqrt{|1 - \tanh^2(\theta_{13})|}} \end{aligned} \quad (28)$$

onde, $\varepsilon''(\theta_{13}) = \varepsilon(\theta_{12}) \varepsilon'(\theta_{23}) / \delta(\theta_{12}, \theta_{23})$, com

$$\delta(\theta_{12}, \theta_{23}) = \begin{cases} +1, & \tanh \theta_{12} \tanh \theta_{23} < 1 \\ -1, & \tanh \theta_{12} \tanh \theta_{23} > 1 \end{cases}, \quad (29)$$

e

$$\tanh(\theta_{13}) = \frac{\tanh \theta_{12} + \tanh \theta_{23}}{1 + \tanh \theta_{12} \tanh \theta_{23}} = \tanh(\theta_{12} + \theta_{23}). \quad (30)$$

Através de (18) podemos verificar que (30) consiste em uma generalização da fórmula de adição das tangentes hiperbólicas, o que revela o seu significado geométrico. Em termos das velocidades, a equação (30) pode ser reescrita como

$$w = \frac{u + v}{1 + uv/c^2}. \quad (31)$$

A equação (31) expressa a lei de composição de velocidades em nossa teoria. Ela é exatamente igual à expressão obtida na teoria da relatividade usual, mas agora aplica-se a quaisquer valores de velocidade.

Podemos igualmente mostrar que existe a transformação inversa. Para isso podemos colocar em (28) as condições $ct'' = ct$ e $x'' = x$, e requerer que a transformação resultante seja a identidade. Assim verificamos que é necessário se ter $\theta_{23} = -\theta_{12}$ e $\varepsilon''(\theta_{13}) = 1$. Com essas condições torna-se possível calcular $\varepsilon'(\theta_{23})$ através da expressão resultante de $\varepsilon''(\theta_{13})$. De fato, encontramos que

$$\varepsilon'(\theta_{23}) = \delta(\theta_{12}) / \varepsilon(\theta_{12}) = \sigma(\theta_{12}) \quad (32)$$

já que $\delta(\theta_{12}, -\theta_{12}) = \delta(\theta_{12})$, com $\delta(\theta_{12})$ definido por (24).

Substituindo esse resultado em (27) obtemos então, em termos das velocidades, as expressões procuradas

das transformações inversas,

$$\begin{aligned} ct &= \varepsilon^{-1}(\theta_{12}) \frac{ct' + x'v/c}{\sqrt{|1 - v^2/c^2|}}, \\ x &= \varepsilon^{-1}(\theta_{12}) \frac{x' + vt'}{\sqrt{|1 - v^2/c^2|}}, \end{aligned} \quad (33)$$

onde colocamos $\varepsilon^{-1}(\theta_{12}) = \sigma(\theta_{12})$. Note que os sinais das transformações inversas diferem dos que aparecem nas transformações diretas. Essa diferença deve-se ao fato já comentado de que de que na transformação $R \rightarrow R'$, assumimos que o referencial de partida pertencera sempre à região I do espaço-tempo, enquanto que na transformação inversa, $R' \rightarrow R$, é o referencial de chegada que fixamos à região I. Quando $|v| < c$ essa assimetria não interfere em nada, já que nesse caso os sinais são sempre iguais nas duas definições, contudo, no caso em que $|v| > c$, decorre que as transformações inversas não podem ser obtidas simplesmente pela substituição de v por $-v$, ainda é necessário multiplicá-las por -1 .

Por fim, mencionamos que a associatividade das TLE pode ser igualmente demonstrada, o que completa a sua estrutura de grupo.

6 Referenciais conjugados

Introduziremos agora um importante conceito que só pode ser contemplado em uma teoria estendida da relatividade: o conceito de *referenciais conjugados*. A definição é a seguinte: dois referenciais são ditos serem conjugados se a velocidade relativa entre eles for infinita. Assim, se considerarmos o referencial R' , que – lembremos – se movimenta com velocidade v em relação a R , o referencial conjugado a R' consiste em um referencial R^* cuja velocidade é, em relação a R , igual a $w = c^2/v$. De fato, obtemos de (31),

$$\lim_{u \rightarrow \infty} \left(\frac{u + v}{1 + uv/c^2} \right) = \frac{c^2}{v}. \quad (34)$$

A importância do conceito de referenciais conjugados provém do fato de que uma transformação do tipo espaço entre dois referenciais, digamos, entre R e R' , pode ser obtida por uma transformação de Lorentz usual entre os referenciais R e R^* , bastando para isso fazer as substituições $v \rightleftharpoons c^2/v$, $ct^* \rightleftharpoons x$ e $x^* \rightleftharpoons ct$. De

fato, desde que $w = c^2/v$ é menor que c para $v > c$, segue que a transformação de R para R^* é dada por

$$ct^* = \frac{ct - xw/c}{\sqrt{1 - w^2/c^2}}, \quad x^* = \frac{x - wt}{\sqrt{1 - w^2/c^2}}. \quad (35)$$

E pode-se verificar que, efetuando-se as substituições indicadas acima, obtêm-se as transformações corretas entre R e R' .

Do ponto de vista geométrico a passagem de um referencial para o seu conjugado consiste em uma reflexão dos seus eixos coordenados em relação às assíntotas da curva (14), já que tal reflexão tem justamente o efeito de trocar ct por x e vice-versa (e, conseqüentemente, o de substituir v por c^2/v). Vemos assim que uma transformação de Lorentz estendida pode ser reduzida a uma transformação de Lorentz usual através de apropriadas reflexões em torno das assíntotas (para o caso das transformações do tipo espaço) e em torno da origem (para uma transformação retrógrada do tipo tempo). Isso nos fornece uma nova maneira de se deduzir as TLE.

É interessante notar que se uma partícula tem velocidade $u = c^2/v$ em relação ao referencial R , então ela terá uma velocidade infinita para o referencial R' , ou seja, ela será uma partícula momentânea para esse referencial. Assim, podemos verificar que se a velocidade da partícula for $u > c^2/v$ e, além disso, tivermos $v < c$, então essa partícula se tornará retrógrada para R' , e será observada como uma antipartícula por esse referencial. Se, do contrário, tivermos $v > c$, então o referencial R' observará uma antipartícula sempre que $u < c^2/v$.

Desde que a velocidade relativa do referencial R' em relação a R é $-v$, decorre também que uma partícula de velocidade $u' = -c^2/v$ terá velocidade infinita em R . Assim, no caso em que se tem $|v| < c$, o referencial R verá uma antipartícula se $u' < -c^2/v$, e no caso em que $|v| > c$, ele só observará uma antipartícula se $u' > -c^2/v$. Essas relações, é claro, podem ser mais facilmente encontradas pela análise (30) ou (31).

7 Régua e relógios

Considere dois relógios idênticos, mas com um deles fixo no referencial R , enquanto que o outro é fixo no referencial R' . Desejamos comparar o ritmo de funcionamento desses relógios, quando medido por um desses referenciais. Por exemplo, suponha que desejamos comparar o ritmo do relógio fixo em R' com o relógio

fixo em R , quando ambos os relógios são medidos por R . Para isso, considere que para o referencial R' , o seu relógio leve o tempo τ' para dar uma oscilação completa. O tempo T correspondente a essa oscilação para o referencial R pode ser encontrado através das transformações inversas (33), se lembrarmos que $\Delta x' = 0$, já que o relógio analisado está fixo em R' . Obtemos assim que

$$T = \varepsilon^{-1}(\theta) \frac{\tau'}{\sqrt{|1 - v^2/c^2|}}. \quad (36)$$

Podemos então verificar que um relógio progressivo (em relação a R) em movimento trabalha em um ritmo mais lento que um relógio em repouso quando a sua velocidade for menor que a da luz (como, aliás, é bem sabido). Mas para um relógio mais rápido que a luz, o seu ritmo de funcionamento continua a ser menor para $|v/c| < \sqrt{2}$ e passa a ser maior quando $|v/c| > \sqrt{2}$. É interessante notar que para $|v/c| = \sqrt{2}$ ambos os relógios voltam a funcionar no mesmo ritmo. Além disso, no caso de um relógio retrógrado, o relógio em movimento marcará o tempo de trás para frente, o que expressa o simples fato de que relógios retrógrados devem marcar o tempo no sentido do futuro para o passado.

Deixe-nos agora verificar como o relógio fixo em R se comporta em relação ao relógio de R' , quando os tempos são medidos por esse último referencial. Nesse caso devemos utilizar as transformações diretas e obtemos

$$T' = \varepsilon(\theta) \frac{\tau}{\sqrt{|1 - v^2/c^2|}}, \quad (37)$$

onde τ é o tempo gasto pelo relógio fixo em R (*i.e.*, que se move com velocidade $-v$ para R') para dar uma oscilação completa, quando esse tempo é medido por R . Agora, o sinal que aparece em (37) é determinado conforme a figura (2) e a análise se torna pouco mais ou menos complicada. É claro que não há problemas quando $|v| < c$, passemos então a analisar o caso em que $|v| > c$. Suponha primeiro que o referencial R' seja progressivo em relação a R . Nesse caso encontramos que $\varepsilon(\theta) = -1$ e o relógio que para R' se movimenta com velocidade $-v$ trabalha no sentido contrário ao do relógio fixo em R' . Isso significa que o relógio de R é retrógrado em relação à R' . Que isso é verdade pode ser verificado através do que foi comentado na seção anterior, onde se deve notar que $u = 0$ e $|v| > c$ (e que, por conseguinte, $u < c^2/v$).

No entanto, essa é uma situação interessante porque acabamos de ver que para o referencial R , o relógio em

movimento funciona no mesmo sentido que o seu relógio, em repouso. Assim, enquanto um dos referenciais insiste que os relógios funcionam ao contrário, o outro discorda, afirmando que ambos os relógios trabalham no mesmo sentido! No caso em que o referencial R' é retrógrado em relação a R a assimetria ainda persiste, mas agora é o referencial R que verá ambos os relógios funcionarem no sentido contrário, enquanto que para R' os relógios funcionarão no mesmo sentido. Essa assimetria, é claro, tem origem na própria assimetria entre as transformações diretas e inversas.

Considere agora duas réguas idênticas, uma colocada no referencial R e outra no referencial R' . Desejamos comparar o comprimento dessas réguas, quando analisadas por um desses referenciais. Se l'_0 é o comprimento da régua fixa em R' quando medida por esse referencial, então o seu comprimento L , como medido por R , é obtido ao se determinar onde se encontram os extremos da régua em movimento em um dado instante t . Fazendo uso das transformações diretas, encontramos que

$$L = \varepsilon(\theta) \cdot l'_0 \sqrt{|1 - v^2/c^2|}. \quad (38)$$

Para $|v| < c$ reencontramos à contração de Lorentz, mas para $|v| > c$ obtemos que a régua em movimento será menor que a régua em repouso quando $|v/c| < \sqrt{2}$ e voltará a ter o mesmo comprimento quando $|v/c| = \sqrt{2}$. Por fim, para $|v/c| > \sqrt{2}$ teremos uma “dilatação de Lorentz”. Além disso, considerando que o referencial R' é progressivo em relação a R , decorre que para R a régua em movimento estará orientada contrariamente a sua régua, em repouso.

Se, por outro lado, as medições são feitas por R' , então encontramos que

$$L' = \varepsilon^{-1}(\theta) \cdot l_0 \sqrt{|1 - v^2/c^2|}, \quad (39)$$

e agora para R' a régua em movimento (que tem velocidade $-v$) apontará para o mesmo sentido que a sua régua em repouso. Encontramos assim as mesmas assimetrias comentadas mais acima.

Esses resultados podem, é claro, ser obtidos – e mais bem compreendidos – através dos diagramas de Minkowski.

8 Dinâmica

Nesta seção pretendemos responder a algumas questões referentes à dinâmica dos táquions. As expressões para a energia e o momentum de uma partícula mais

rápida que a luz serão deduzidas e mostraremos como tais partículas se comportam quando na presença de um campo de forças.

Como ponto de partida assumiremos que o princípio da ação estacionária aplica-se também à partículas mais rápidas que a luz. Isso, é claro, segue diretamente da hipótese de que o espaço-tempo é isotrópico e homogêneo, uma vez que sabemos que esse princípio é válido para partículas mais lentas que a luz.

Como se sabe, o princípio da ação estacionária afirma que existe uma quantidade S , chamada *ação*, que assume um valor extremo (máximo ou mínimo) para qualquer movimento possível de um sistema mecânico (no nosso caso, uma partícula). Por outro lado, na ausência de forças o movimento de uma partícula corresponde a uma geodésica do espaço-tempo, a qual se reduz a uma reta quando desprezamos a gravitação. Isso significa que no caso de uma partícula livre a diferencial da ação dS deve ser proporcional ao elemento de linha ds da partícula e podemos escrever

$$dS = \alpha ds, \quad ds = \sqrt{|c^2 dt^2 - dx^2 - dy^2 - dz^2|}. \quad (40)$$

Temos de enfatizar, entretanto, que a constante de proporcionalidade α pode assumir valores diferentes em regiões diferentes do espaço-tempo, uma vez que essas regiões são completamente desconexas. Portanto, é conveniente considerar cada caso separadamente.

No caso de uma partícula progressiva do tipo tempo, (40) assume a forma,

$$dS = \mathcal{L}(u) dt, \quad \mathcal{L}(u) = \alpha c \sqrt{1 - u^2/c^2}, \quad (41)$$

onde introduzimos a função de LaGrange, $\mathcal{L}(u)$, para expressar a ação em termos da velocidade da partícula.

Como se sabe, as expressões para a energia e momentum são obtidas pelas fórmulas

$$p(u) = \frac{\partial \mathcal{L}(u)}{\partial u}, \quad E(u) = u \left[\frac{\partial \mathcal{L}(u)}{\partial u} \right] - \mathcal{L}(u). \quad (42)$$

Aplicando-se (42) em (41) obtemos, assim,

$$p(u) = -\frac{\alpha u/c}{\sqrt{1 - u^2/c^2}}, \quad E(u) = -\frac{\alpha c}{\sqrt{1 - u^2/c^2}}. \quad (43)$$

Para determinar α podemos usar o fato de que essas expressões devem, para baixas velocidades, se reduzir às expressões obtidas pela mecânica de Newton. Assim, por exemplo, se expandirmos a expressão para o momentum em uma série de potências de u/c e

retermos apenas o primeiro termo, encontramos que $p \approx -\alpha u/c$, ao passo que a mecânica de Newton nos fornece $p = mu$. Assim obtemos $\alpha = -mc$ e ficamos com

$$p(u) = \frac{mu}{\sqrt{1 - u^2/c^2}}, \quad E(u) = \frac{mc^2}{\sqrt{1 - u^2/c^2}}, \quad (44)$$

que são justamente as expressões conhecidas da relatividade usual.

Já caso de uma partícula progressiva do tipo espaço (*i.e.*, no caso de um táquion progressivo), a função de LaGrange assume a forma

$$\mathcal{L}(u) = \alpha c \sqrt{u^2/c^2 - 1}. \quad (45)$$

E obtemos, por meio de (42), as seguintes expressões para o momentum e energia dessa partícula,

$$p(u) = \frac{\alpha u/c}{\sqrt{u^2/c^2 - 1}}, \quad E(u) = \frac{\alpha c}{\sqrt{u^2/c^2 - 1}}. \quad (46)$$

A constante α , entretanto, não pode mais ser calculada através da comparação dessas expressões com as que são obtidas na mecânica de Newton, já que a velocidade da partícula é nesse caso sempre maior que a da luz. Mas podemos, em contrapartida, calcular o limite dessas expressões para quando $u \rightarrow \infty$, e assim encontramos que

$$\lim_{u \rightarrow \infty} p(u) = \alpha, \quad \lim_{u \rightarrow \infty} E(u) = 0, \quad (47)$$

de onde se pode ver que α é igual ao momentum de uma partícula momentânea, ou seja, de velocidade infinita.

Desde que a massa de uma partícula deve ser um invariante universal, segue que podemos definir uma métrica também no espaço da energia e dos momenta. Fazendo uma analogia com (1), podemos definir essa *métrica dinâmica* como

$$c^2 dm = \sqrt{|dE^2 - c^2 dp_x^2 - c^2 dp_y^2 - c^2 dp_z^2|}. \quad (48)$$

Assim, segue que a massa, a energia e o momentum de uma partícula devem estar relacionados sempre pela fórmula $mc^2 = \sqrt{|E^2 - c^2 p^2|}$. Se colocarmos, nessa última equação, $E = 0$, obtemos que $p = mc = \alpha$ (onde assumimos p é positivo para u positivo). E assim concluímos que o momentum e a energia de um táquion são dadas pelas as expressões

$$p(u) = \frac{mu}{\sqrt{u^2/c^2 - 1}}, \quad E(u) = \frac{mc^2}{\sqrt{u^2/c^2 - 1}}. \quad (49)$$

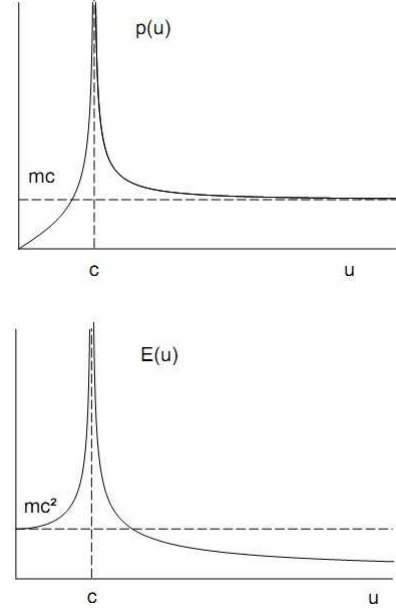


Figura 4: Gráficos para o momentum e energia de uma partícula progressiva com velocidade u tal que $0 \leq u < \infty$.

Esse resultado pode também ser obtido através do emprego dos referenciais conjugados, introduzidos na seção 6. Suponha que uma partícula tenha velocidade $u > c$ para um referencial R . Então para o referencial conjugado R^* ela terá energia $E^* = cp$ e momentum $p^* = E/c$, enquanto que a sua velocidade passa a ser $w = c^2/u$, que é menor que c . Mas as expressões para o momentum e energia de um brádion (*i.e.*, de uma partícula do tipo tempo) são dadas por (42), e obtemos, por conseguinte,

$$p^* = \frac{mw}{\sqrt{1 - w^2/c^2}}, \quad E^* = \frac{mc^2}{\sqrt{1 - w^2/c^2}}. \quad (50)$$

Podemos assim verificar que as substituições de E^* , p^* e w nas fórmulas acima resultam exatamente na expressão (49).

No caso de partículas retrógradas, a função de LaGrange troca de sinal, já que dt é negativo e $\mathcal{L} = dS/dt$. Por conseguinte, partículas retrógradas devem ter energia negativa, um resultado que já havíamos indicado na seção 3.

Por fim, deixe-nos mostrar como uma partícula do

tipo espaço deve se comportar quando submetida a um campo de forças. A força que atua na partícula contínua, é claro, sendo dada pela lei de Newton, $\dot{p} = F$, mas agora p é dado por (49). Calculando a derivada, obtemos

$$F = -\frac{ma}{(u^2/c^2 - 1)^{3/2}}, \quad (51)$$

onde $a = du/dt$ denota a aceleração da partícula. Note que a força é dirigida no sentido oposto à aceleração. Conseqüentemente duas partículas do tipo espaço que *dinamicamente* se atraem (se repelem) devem se afastar (se aproximar) uma da outra. Os conceitos de atração-aproximação e de repulsão-afastamento, portanto, não são mais equivalentes quando lidamos com táquions. De fato, se tentássemos se aproximar (ou se afastar) de um táquion, a sua velocidade relativa diminuiria (aumentaria), um efeito que é contrário ao nosso senso comum mas que pode ser demonstrado por uma simples análise de (31).

9 Causalidade e o paradoxo de Tolman

Um dos argumentos geralmente empregados para se mostrar que partículas mais rápidas que a luz não podem existir é que a sua existência implicaria uma violação do princípio de causalidade. Com efeito, suponha que um táquion seja emitido por um corpo A no instante t_A e que ele seja absorvido por outro corpo B no instante t_B , onde $t_B > t_A$. Como esses dois eventos (emissão de um táquion por A e sua absorção por B) estão separados por uma distância do tipo espaço, sabemos da teoria da relatividade que é possível encontrar um outro referencial, com velocidade menor que a da luz, onde a ordem cronológica desses eventos se inverte. Assim, se assumirmos que o evento em A é a causa do evento B , então chegaremos a conclusão de que, para esse referencial em movimento, o efeito precede a sua causa.

Portanto, se admitirmos que os conceitos de causa e efeito são *absolutos*, e que a causa sempre precede o seu efeito, então efetivamente somos levados a conclusão de que partículas mais rápidas que a luz não podem existir. No entanto, não há nada do ponto de vista matemático que dê suporte a essa hipótese. Pelo contrário, se admitirmos uma completa isotropia e homogeneidade do espaço e tempo, então não temos outra

escolha senão considerar os conceitos de causa e efeito como conceitos *relativos*.

Já vimos, é claro, outras quantidades que eram consideradas absolutas na teoria da relatividade usual e passaram agora a serem vistas como que relativas. Um exemplo é o conceito de emissão e absorção. Com efeito, uma vez que pelo princípio da inversão não observamos partículas retrógradas mas sim antipartículas progressivas, os processos de emissão (absorção) de partículas retrógradas são sempre observadas como uma absorção (emissão) de antipartículas. Podemos, é claro, descobrir se uma partícula foi de fato emitida (absorvida) se analisarmos o processo no referencial onde a fonte (emissor) está em repouso, nesse caso falaremos de uma emissão (absorção) *intrínseca* ou *própria*.

O caráter relativo da causalidade, todavia, não leva a nenhuma contradição à teoria. Na natureza, um fenômeno nunca descreve um evento isolado, mas sim uma sucessão contínua de eventos, ou seja, um *processo* físico. Geometricamente um processo descreve uma curva contínua no espaço-tempo e portanto tem um caráter absoluto: a ordem temporal com que os eventos ocorrem podem diferir de referencial para referencial, mas a curva em si, que corresponde ao fenômeno em questão, é a mesma para qualquer um deles. Isso, por exemplo, é suficiente para mostrar que não podemos voltar no tempo e matar o nosso avô. De fato, o simples fato de existirmos significa que existe uma curva no espaço tempo conectando o nosso avô a nós e, por essa curva ter caráter absoluto, ela não pode ser (estar) desconectada por (para) qualquer observador, mesmo que este voltasse no tempo.

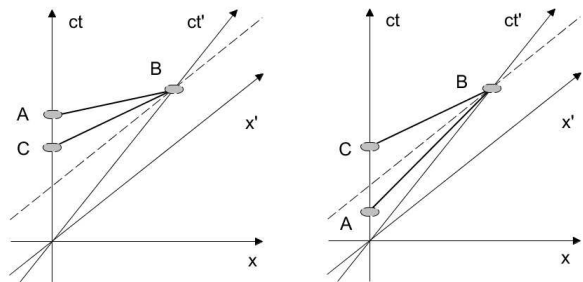


Figura 5: Experimento imaginado por Tolman.

Como exemplo de um paradoxo que envolve o conceito de causalidade, deixe-nos analisar o interessante

paradoxo proposto e discutido por Tolman [15] em 1917, embora já tivesse sido apontado dez anos antes por Einstein em [16]. Maiores detalhes podem ser conferidos em [17, 18, 19].

O paradoxo consiste em mostrar que se existissem partículas mais rápidas que a luz, então seria possível enviar informações para o passado. Para mostrar isso, considere que os referenciais R e R' (com R' movendo-se com uma velocidade $v < c$ em relação a R) sejam equipados com certos aparelhos telefônicos especiais, cuja comunicação é feita através da transmissão de táquions. Imagine, assim, que um observador em R envie (evento A) uma mensagem, digamos na forma de uma pergunta, para R' e que, após o seu recebimento (evento B), um observador em R' mande de volta para R a sua resposta, que é então recebida por R (evento C). Acontece que, como pode ser visto na figura 5a, o observador em R' pode calibrar o seu aparelho de modo que a mensagem enviada por ele chegue em R antes que esse observador tivesse enviado a sua pergunta. Assim, uma vez que R obtém a resposta antes mesmo de fazer a pergunta, R poderia deixar de fazê-la, mas caso ele tome essa decisão, também não poderia haver qualquer resposta por parte de R' , o que constitui uma situação paradoxal.

A falha nessa argumentação é que ela mistura as descrições dos referenciais quando os termos “emissão” e “absorção” são empregados. De fato, mostraremos agora (seguindo [4]) que se o referencial R' receber *intrinsecamente* a pergunta enviada por R , e também enviar *intrinsecamente* a sua resposta, então o referencial R sempre receberá a resposta de R' depois de ter enviado a sua pergunta.

Para isso, suponha que a pergunta de R é enviada com uma velocidade u_1 , e que a resposta volte com uma velocidade u_2 , com ambas as velocidades maiores que a da luz e medidas por R . Então note que para a resposta de R' chegar antes da pergunta de R , é necessário que se tenha $|u_1| > |u_2|$, porque para R o evento C é anterior a A e ambos chegam em B no mesmo instante. No entanto, para que o referencial R' receba *intrinsecamente* a pergunta de R é necessário que se tenha $|u_1| < c^2/v$, já que do contrário, conforme vimos na seção 6, essa mensagem seria retrógrada para R' e o observador em R' veria simplesmente a emissão de uma mensagem por meio da transmissão de anti-táquions, conforme prediz o princípio da inversão. Da mesma forma, para que R' emita *intrinsecamente* a sua resposta, devemos ter $|u_2| > c^2/v$, já que a resposta é

enviada na direção negativa do eixo X de R . Assim, mostramos que $|u_2| > |u_1|$, uma contradição.

Portanto, se o referencial R' de fato recebe a pergunta de R e de fato emite a sua resposta, então o processo será descrito, em verdade, pela figura 5b e não pela figura 5a. Nesse caso, a resposta sempre chega depois de a pergunta ser enviada pelo referencial R .

É claro que a figura 5a também representa um processo físico válido, mas não se refere efetivamente à situação descrita no paradoxo de Tolman. Além disso, cada referencial terá a sua própria visão do que ocorre. Por exemplo, para o referencial R a figura 5a corresponde ao caso onde, primeiramente, há o envio da mensagem C (por meio de anti-táquions) e, logo depois, o envio da mensagem A (por meio de táquions), por fim, ambas as mensagens chegam juntas em B . Já para R' tudo se passa como se ele enviasse a mensagem C para R por meio de anti-táquions e, ao mesmo tempo, enviasse a mensagem A por meio de táquions, então após algum tempo ele veria que o observador em R recebe a mensagem C e depois a mensagem A . Note que a ordem cronológica dos eventos depende do referencial considerado, mas o processo em si (que interliga os eventos A , B e C) é único.

10 Dificuldades para se formular a teoria dos táquions em 4 dimensões

Na seção 4 conseguimos com êxito mostrar que em duas dimensões as transformações de Lorentz podem ser entendidas, de modo a relacionar qualquer par possível e imaginável de referenciais inerciais. Quando, porém, tentamos fazer o mesmo em quatro dimensões, nos deparamos com sérias dificuldades, as quais serão brevemente discutidas aqui.

Deixe-nos lembrar o leitor que ao estender as transformações de Lorentz em duas dimensões, fizemos o uso de um importante princípio: o que afirma que a velocidade da luz é a mesma em qualquer referencial inercial. Vimos, aliás, que esse princípio pode ser deduzido a partir dos postulados apresentados na seção 2, de modo que ele pode ser visto como um teorema da própria teoria da relatividade. Quando, todavia, passamos para um universo de 4 dimensões, não é mais possível mostrar a validade geral desse teorema da mesma forma que fizemos lá, de modo que em quatro dimensões não

podemos nem mesmo afirmar que a luz se propaga em esferas e com velocidade c em *qualquer* referencial inercial.

Para mostrar mais claramente a origem dessa dificuldade, deixe-nos considerar por exemplo uma fonte de luz fixa na origem do referencial R e supor que em relação a esse referencial a luz se propague em esferas e com velocidade c . Em quatro dimensões as assíntotas do espaço-tempo são substituídas por um cone – o cone de luz. A região do espaço-tempo ocupada por um raio de luz que é emitida pela fonte fixa em R sempre pertence a esse cone de luz.

A teoria da relatividade usual mostra também que para qualquer outro referencial inercial do tipo tempo, a propagação dessa luz é ainda representada por esse mesmo cone de luz. Mas como a luz deve se comportar para um referencial R' do tipo espaço? Nesse caso, o eixo do tempo desse referencial estará sempre na região externa ao cone de luz de R , de modo que não é evidente que a luz emitida pela fonte fixa em R deva se propagar em esferas de velocidade c para R' . Além disso, podemos nos perguntar o que acontece quando uma fonte fixa em R' emite luz. Será que para R' essa luz se propagará em esferas com velocidade c ? E para o referencial R , onde a fonte tem velocidade $v > c$, o que ocorre?

Como se pode ver, há várias questões que não podem ser respondidas de imediato, sem se ter informações adicionais. De fato, o comportamento da luz depende de suas propriedades intrínsecas, as quais são determinadas por uma teoria eletromagnética que *a priori* desconhecemos. Deixe-nos analisar um pouco mais essas possibilidades.

Podemos supor, por exemplo, que a fonte de luz fixa em R' (que vamos supor ter velocidade maior que a da luz) também emita ondas esféricas e com velocidade c para esse mesmo referencial. Então agora deve existir um outro cone de luz, correspondente à esse referencial do tipo espaço e que deve contornar o eixo do tempo de R' . Uma vez que o eixo do tempo de R sempre estará fora desse novo cone de luz, segue que para R a luz emitida pela fonte em movimento não se propagará em esferas de velocidade c , mas antes terá a forma de um hiperboloide de dupla face. Nesse caso a velocidade dos raios luminosos dependeria, por conseguinte, da sua direção de propagação e o espaço-tempo não poderia mais ser considerado isotrópico.

Se, do contrário, considerarmos que a luz emitida pela fonte em R' se propaga em esferas com respeito

ao referencial R , ou seja, que no universo existe apenas um cone de luz, e que a luz sempre “percorre” esse cone, não importando qual seja a velocidade da fonte que a emitiu, então podemos verificar que embora a luz se propague em esferas de velocidade c para R , o mesmo não ocorre para R' , que observa a luz se propagar em hiperboloides de dupla face.

Para que a luz se propague em esferas de velocidade c em ambos os referenciais é necessário que as coordenadas transversais, y' e z' , do referencial R' sejam imaginárias (assumindo que y e z são reais). Pois somente desse modo se pode mapear um cone de luz do “tipo tempo” em um cone de luz do “tipo espaço”. Com efeito, isso pode ser mostrado ao se deduzir as TLE em 4 dimensões, assumindo desde o início a validade do princípio de invariância da velocidade da luz para qualquer referencial inercial. De fato, teremos nesse caso,

$$x'^2 + y'^2 + z'^2 - c^2 t'^2 = \lambda(v) (x^2 + y^2 + z^2 - c^2 t^2), \quad (52)$$

no lugar de (4). Como se sabe, a solução dessa equação para $\lambda(v) = +1$ consiste nas transformações de Lorentz usuais, enquanto que, para $\lambda(v) = -1$ obtemos

$$ct' = \pm \frac{ct - xv/c}{\sqrt{v^2/c^2 - 1}}, \quad x' = \pm \frac{x - vt}{\sqrt{v^2/c^2 - 1}}, \quad (53)$$

$$y' = \pm iy, \quad z' = \pm iz,$$

e as coordenadas transversais y' e z' tornam-se imaginárias. A introdução de coordenadas imaginárias é, no entanto, desprovida de qualquer sentido físico⁸.

Se, por sua vez, negarmos a validade do princípio de invariância da velocidade da luz, então obtemos as

⁸ Alguns autores, como por exemplo em [20], argumentam que a introdução de coordenadas imaginárias na teoria não constitui um problema. A solução apresentada por eles consiste em considerar os próprios eixos coordenados Y' e Z' como imaginários, de modo que os observadores do referencial (do tipo espaço) R' sempre interpretam as coordenadas y' e z' como *relativamente* reais. Isso, todavia, não é consistente. De fato, considere por exemplo um raio de luz que se propague na direção Y do referencial R . Para o referencial R' , a luz caminha por uma trajetória oblíqua, e as componentes de sua velocidade terão as magnitudes $|c'_x| = v$ e $|c'_y| = c\sqrt{v^2/c^2 - 1}$. Assim, para que o raio de luz se propague com a velocidade $c' = c$, é estritamente necessário que o quadrado de c'_y seja um número negativo, o que contraria a hipótese de que c'_y é um número *relativamente* real.

transformações

$$ct' = \pm \frac{ct - xv/c}{\sqrt{v^2/c^2 - 1}}, \quad x' = \pm \frac{x - vt}{\sqrt{v^2/c^2 - 1}}, \quad (54)$$

$$y' = \pm y, \quad z' = \pm z.$$

em que todas as coordenadas são reais. O problema é que agora estamos nos casos discutidos anteriormente, onde o espaço-tempo não pode mais ser considerado isotrópico.

Note que em cada uma das possibilidades discutidas acima, as componentes transversais das grandezas físicas se tornarão diferentes. Assim, por exemplo, a formulação da eletrodinâmica dos táquions assumirá formas diferentes em cada uma dessas formulações. Somente a experiência pode, contudo, decidir qual delas está correta, (isto é, assumindo que alguma delas esteja).

Em resumo, os argumentos apresentados acima nos mostram que não é possível estender as transformações de Lorentz de modo a satisfazer todos os postulados apresentados na seção 2, a não ser que se introduza quantidades imaginárias, o que não tem interpretação física. Veremos na seção seguinte que, se não exigirmos a validade do postulado 1, isto é, que o universo tenha quatro dimensões, então torna-se possível construir uma teoria dos táquions que satisfaça os outros postulados.

11 Uma possível teoria em 6 dimensões

Podemos nos perguntar por que encontramos dificuldades em estender as transformações de Lorentz em um universo de quatro dimensões, se em duas dimensões essa extensão é quase que direta. Após um pouco de reflexão, podemos encontrar a resposta. O motivo pelo qual isso ocorre reside no fato de que em quatro dimensões temos um número diferente de dimensões espaciais e temporais. Desde que a experiência nos mostra que o universo tem três dimensões espaciais (pelo menos), segue que devemos considerar um universo de (no mínimo) seis dimensões – três do tipo tempo, três do tipo espaço⁹.

⁹A concepção de um universo em seis dimensões também já foi proposta antes, conferir [4].

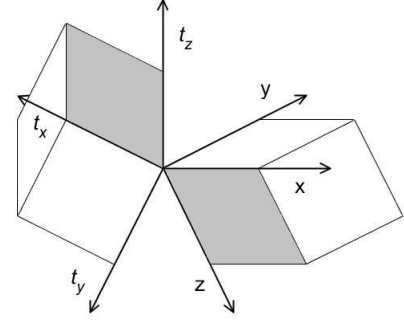


Figura 6: Ilustração de um universo em 6 dimensões – “universos ortogonais”.

Mas o que devemos entender por um universo com três dimensões de tempo? A interpretação que propomos aqui é a seguinte: embora o universo tenha três dimensões do tipo tempo, o *tempo físico*, isto é, o tempo que de fato é medido por um observador, é sempre unidimensional. Efetivamente, esse tempo físico deve corresponder ao *tempo próprio* desse observador, ou seja, deve ser determinado pelo comprimento de sua linha de universo.

Dessa forma, consideramos também que as outras duas dimensões do tipo tempo, as que são ortogonais à linha de universo do observador, são sempre *inacessíveis* a esse observador. Assim, muito embora o universo seja considerado hexadimensional nessa teoria, o *universo físico* é sempre quadridimensional. De certa forma, esse universo a seis dimensões pode ser interpretado como que composto por *dois universos tridimensionais ortogonais*¹⁰, conforme está pictoricamente ilustrado na figura 6.

Com essas interpretações, podemos definir a métrica do universo em seis dimensões pela expressão

$$ds = \sqrt{|c^2 dt_x^2 + c^2 dt_y^2 + c^2 dt_z^2 - dx^2 - dy^2 - dz^2|}, \quad (55)$$

e a *métrica física* por

$$d\sigma = \sqrt{|c^2 dt_x^2 - dx^2 - dy^2 - dz^2|}. \quad (56)$$

onde supomos que t_x seja o tempo físico medido pelo

¹⁰O conceito de “universos paralelos” já foi, é claro, apresentado em diversas histórias de ficção científica, entretanto, não me recordo de nenhuma delas ter introduzido a ideia de “universos ortogonais”.

observador correspondente (por uma escolha conveniente do sistema de coordenadas isso, é claro, pode sempre ser feito).

Deixe-nos então mostrar agora como se pode obter as TLE que estejam de acordo com os postulados apresentados na seção 2. Para isso, considere um determinado evento de coordenadas $(ct_x, ct_y, ct_z, x, y, z)$ em relação a um referencial R , mas que apenas as coordenadas (ct_x, x, y, z) sejam acessíveis a esse referencial. Analogamente, para o referencial R' deixe $(ct'_x, ct'_y, ct'_z, x', y', z')$ serem as coordenadas daquele mesmo evento, onde agora somente as coordenadas (ct'_x, x', y', z') são acessíveis a R' .

Considere primeiro o caso em que $v < c$. Nesse caso é evidente que as dimensões acessíveis de R e R' devem ser iguais, já que para $v = 0$ devemos obter a identidade. Assim, obtemos diretamente que as transformações procuradas consistem nas transformações de Lorentz usuais, acrescidas das relações

$$ct'_y = ct_y, \quad ct'_z = ct_z, \quad y' = y, \quad z' = z. \quad (57)$$

Considere agora o caso de mais interesse em que $v > c$. Aqui, pelo contrário, deve haver uma inversão nas dimensões acessíveis de R quando observadas por R' . De fato, podemos dizer que os referenciais R e R' estão, agora, em “universos ortogonais” diferentes. Assim, as coordenadas ct_y e ct_z devem passar a ser acessíveis para R' , enquanto que as coordenadas y e z devem se tornar inacessíveis. Note ainda que para a luz se propagar em esferas de velocidade c em ambos os referenciais é necessário apenas que se tenha $d\sigma = d\sigma' = 0$. Contudo, podemos considerar a hipótese mais forte de que sempre se tenha $ds' = ds = 0$ para um raio de luz. Nesse caso facilmente se verifica que condição anterior é satisfeita através das relações

$$ct'_y = \pm y, \quad ct'_z = \pm z, \quad y' = \pm ct_y, \quad z' = \pm ct_z, \quad (58)$$

as quais se somam as expressões

$$ct'_x = \pm \frac{ct_x - xv/c}{\sqrt{v^2/c^2 - 1}}, \quad x' = \pm \frac{x - vt_x}{\sqrt{v^2/c^2 - 1}}, \quad (59)$$

já deduzidas na seção 4, para constituir as TLE em seis dimensões. Note que agora todas as coordenadas são reais.

Deixe-nos por fim interpretar os resultados obtidos. Em primeiro lugar é fácil verificar que em ambos os referenciais a luz se propagará com velocidade c . Isso pode ser feito através da substituição direta de (58)

e (59) em (56). Além disso, notemos que nessa formulação, a forma como os táquions são observados no referencial R pode ser completamente diferente de sua forma para o referencial R' , uma vez que para o referencial R as coordenadas transversais são dadas por $y = \pm ct'_y$ e $z = \pm ct'_z$, as quais não são acessíveis a R' .

Além disso, é interessante notar que se uma fonte de luz for fixada ao referencial R' , então o referencial R verá essa luz se propagando em esferas com velocidade c , conforme mostramos, mas desde que a fonte tem nesse caso uma velocidade maior que c , teremos efetivamente a formação de um cone de Mach, pois a fonte estará sempre à frente das ondas que emite. Pode-se mostrar então que a superposição das ondas emitidas por essa fonte superluminal formam duas frentes de onda com o formato de hiperboloides. A velocidade de grupo dessas ondas depende da direção, sendo sempre maior que c (exceto na direção X , cuja velocidade é c). Isso, no entanto, deve-se puramente a um fenômeno de interferência, diferentemente do que ocorria nos casos discutidos na seção anterior. Ondas desse tipo são comumente chamadas de “ondas X ” e efetivamente são soluções superluminiais das equações de Maxwell [21, 22] – essas ondas, inclusive, já foram observadas e até mesmo produzidas em laboratório [3, 21, 22, 23], o que constitui uma importante verificação experimental da existência de fenômenos superluminiais na natureza.

Agradecimentos

O autor agradece ao Prof. Dr. A. Lima-Santos pela leitura do manuscrito e sugestões, e também à Fundação de Amparo à Pesquisa do Estado de São Paulo (FAPESP) pelo suporte financeiro.

Referências

- [1] T. Adam et Al. (The OPERA Collaboration), *Measurement of the neutrino velocity with the OPERA detector in the CNGS beam*, arXiv:1109.4897v1 [hep-ex], p. 1-24, (2011).
- [2] R.S. Vieira, *Para Além da Velocidade da Luz – Uma Breve Introdução à Teoria dos Tachyons*, Palestra apresentada na 7^a Semana da Física da Universidade Federal de São Carlos, São Carlos, (2011).

- [3] E. Recami, *Superluminal motions? A bird-eye view of the experimental situation*, Found. Phys., **31**, p. 1119–1135, (2001).
- [4] E. Recami, *Classical Tachyons and Possible Applications*, Riv. Nuovo Cim. vol. **9**, s. 3, n. 6, p. 1-178, (1986).
- [5] H. Poincaré, *Sur la dynamique de l'électron*, Circ. Mat. Palermo, **21**, p. 129–176 (1906).
- [6] H. Minkowski, *Raum und Zeit*, Phys. Z. **10**, p. 104-111, (1909).
- [7] P.A.M. Dirac, *A Teory of electrons and protons*, Proc. R. Soc. London, A **126**, p. 360-365 (1930).
- [8] E.C.G. Stückelberg, *Remarque a Propos de la Création de Paires de Particules en Théorie de Relativité*, Helv. Phys. Acta, **14**, p. 588-594, (1941).
- [9] E.C.G. Stückelberg, *La mécanique du point matériel en théorie de relativité et en théorie des quanta*, Helv. Phys. Acta, **15**, p. 23-37, (1942).
- [10] R.P. Feynman, *Space-Time Approach to Quantum Eletrodynamics*, Phys. Rev. **76**, p. 769-789, (1949).
- [11] R.P. Feynman, *The reason for antiparticles*, in Elementary Particles and the Laws of Physics, The 1986 Dirac Memorial Lectures by R.P. Feynman and S. Weinberg, (Cambridge University Press, Cambridge, 1987).
- [12] O.M.P. Bilaniuk, V.K. Deshpande e E.C.G. Sudarshan, “*Meta*” Relativity, Am. Journ. Phys., **30**, p. 718-723, (1962).
- [13] F. Catoni et Al., *The Geometry of Minkowski Space-Time*, (Springer Briefs in Physics, 2011).
- [14] J. Vaz Jr., *A Álgebra Geométrica do Espaço-tempo e a Teoria da Relatividade*, Rev. Bras. Ens. Física, **22**, p. 5-31, (2000).
- [15] R.C. Tolman, *The Theory of Relativity of Motion*, (Berkeley, 1917).
- [16] A. Einstein, *Über die vom Relativitätsprinzip geforderte Trägheit der Energie*, Ann. d. Phys. **23**, p. 371-384, (1907).
- [17] D. Bohm, *The Special Theory of Relativity*, (New York, 1965).
- [18] E. Recami, *The Tolman ‘antitelephone’ paradox: It’s solution by tachyon mechanics*, Lett. Nuovo Cim. **44**, p. 587-593, (1985).
- [19] E. Recami, *Tachyon kinematics and causality: A systematic, thorough analysis of the tachyon causal paradoxes*, Found. Phys., **17**, p. 239-296 (1987).
- [20] R.L. Dawe, K.C. Hines, *The Physics of Tachyons I. Tachyon Kinematics*, Aust. J. Phys. **45**, p. 591-620, (1992).
- [21] E.C. de Oliveira, W.A. Rodrigues Jr., *Soluções Superluminais de Enegia finita das Equações de Maxwell*, Tend. Mat. Apl. Comput., **3**, p. 165-171, (2002).
- [22] E. Recami, M.Z. Rached, *Localized Waves: A not-so-short Review*, Advances in Imaging & Electron Physics, **156**, p. 235-355, (2009).
- [23] E. Recami, M. Fracastoro-Decker, W.A. Rodrigues Jr., *Táquions*, Revista Ciência Hoje, **5**, n. 26, p. 48-59 (1986); E. Recami, M.Z. Rached, *Mais velozes que a luz?* Revista Ciência Hoje, **29**, n. 170, p. 20-25 (2001).